

III-120 サンドドレーンに関する実験

東海大学工学部 正員 植田 喬穂
○赤石 勝

1. まえがき

最近のサンドドレーン工法では、径の小さいドレーンを数多く打設するという施工例が多い。ドレーンの直径 d_w と有効径 d_e の比 $\eta = d_e/d_w$ を一定に保ったまま、 d_w を減少させドレーンの本数を多くすれば、当然のことながら圧密時間は、排水距離の自乗則に従って減少する。砂粒の連続性が確保され、周辺地盤のカク乱による悪影響がなければ、圧密の促進および施工能率など有利な点が多い。しかしサンドドレーン工法の有効性について種々論議されている現在、サンドドレーンの打設間隔と圧密所要時間、水平方向圧密係数 C_h などについても検討する必要があると思われる。 η を一定にしてドレーンの本数を多くするとどの程度有利なのか、 C_h の問題も含め室内実験によっていくつかの検討を加えてみた。

2. 実験方法および試料

実験に用いた試料は、港外郊堤防で採取した粘土と市販の粘土工、サンドドレーン用中結砂として富士川産のシルトまじり砂を用いた。これら試料の物理的性質は、表-1に示す通りである。実験は、リソング直徑 20 cm の大型圧密試験機で行なった。液性限界に近い状態に加水調整しに粘土を十分に練り返し、圧密荷重 0.722 kg/cm^2 で予備圧密した後、肉厚の薄い金属円筒で穿孔し砂をつめた。今回の実験では、 $\eta = 5$ として砂粒の直径を 4 種類に変化させ、図-1に示すような配置にサンドドレーンを打設した。高さ約 8 cm のサンドドレーンの部分に穴があいたビニールシートで試料の上下両端をシールして、鉛直方向の流れが生じないようとした。圧密荷重 ($0.252, 0.407, 0.720 \text{ kg/cm}^2$) は、48 時間に隔て段階的に加えていった。また同時に鉛直方向に排水する標準的圧密試験を行ない比較した。

3. 実験結果および考察

時間～圧密量の整理には、 $\log - \log$ 曲線法を用いた。その一例が図-2である。鉛直方向排水の場合、理論曲線にはほぼ一致するが、サンドドレーンによる水平方向排水では、載荷初期に急速な沈下が起り、その後理屈曲線の直線上に並ぶといふのが多かった。ドレーン打設直後の載荷では、ゆる詰め砂粒と粘土間の空隙のために見かけ上の圧密沈下が発生したためと考えられる。しかししつづきの荷重でも同じ傾向が見られるので前の荷重による過剰間隙水圧の消散を完全にするため、載荷間隔を大きくしてもこの傾向は変わらなかった。今後排水量や間隙水圧などを測定し粘土と砂粒の相互的な变形性状とも関連させて検討する必要がある。時間～圧密量の整理に、このような問題点があるが、

表-1. 試料の物理的性質

| | 粘土 CH | 粘土 CL | 中結砂 SM |
|------------------------------|--------------------|-----------------------|-------------------------|
| 比重 G_s | 2.72 | 2.74 | 2.76 |
| $W_L \%$ | 59.2 | 38.1 | $D_w = 0.03 \text{ mm}$ |
| $W_P \%$ | 26.4 | 18.0 | $D_w = 0.98 \text{ mm}$ |
| 粒度 % | 9 | 0 | 91 |
| 砂率 % | 81 | 94 | 6 |
| 活性 | 10 | 6 | 3 |
| $M_v \text{ cm}^3/\text{kg}$ | 1.41×10^4 | 7.55×10^{-2} | |

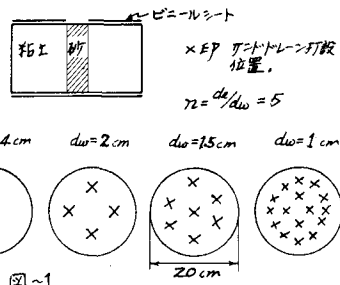


図-1.

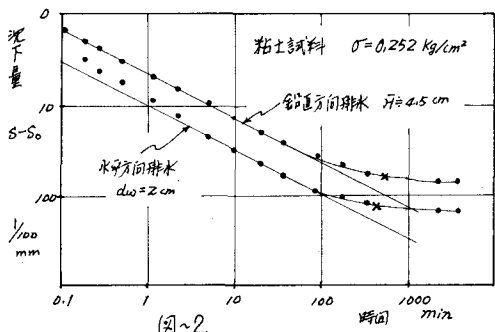


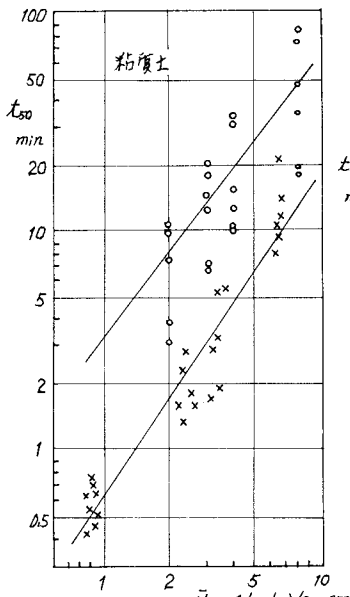
図-2.

供試体の排水距離と圧密度50%に達する時間の関係を示したのが図～3、図～4である。排水距離の自乗則と比較するため最小自乗法によって直線をあてはめてみた。両試料とも鉛直方向排水よりもサンドドレンの勾配が小さい。特に粘質土にくらべ圧縮性の大きい粘土では、勾配の減少が著しい。また載荷段階毎に分配を求めるヒゲンドドレンでは、載荷段階が上がるにつれ分配が減少している。したがってサンドドレン工法では、小さな径の砂粒を密に打設しても圧密時間の短縮を理論通りには期待できないと思われる。また径を小さくすれば、側方流動によって砂粒が切断されやすくなる問題も生じる。この室内模型実験で勾配の減少が排水距離の自乗則に適合しない原因として、砂粒の径が小さくなるほど砂粒と粘土の接触面積が増加するので、穿孔によるカク乱の影響や砂粒の目詰まりによる透水能力低下の影響が大きい。またドレンの配置によって、隣りの砂粒の影響半径との重なり、影響円の範囲内に入らない部分およびその位置など個々の砂粒の透水能力とも関連して、かく複雑に影響することなど考えらるべきが不明な点も多い。

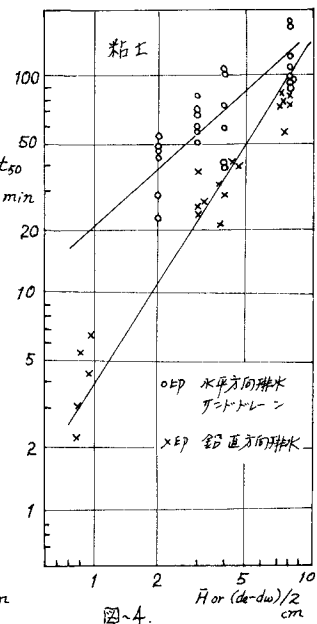
図～5は、荷重増加による圧密係数の変化を示したものである。両試料とも C_u' は、あまり変化しないのに C_u は、荷重とともに大きくなっている。この実験では荷重が剛体で等ひずみ条件であることを、砂粒の高さが低いことなどのため、叩き詰めた砂でも沈下とともに砂粒に应力が集中するので粘土部分には、隣作用が働き圧密現象が急速に終了したものと推測される。このため C_u と C_u' の比較に、砂粒がゆる詰め状態の打設直後のデータを用いた。図～6によれば、 C_u' の変化はあまり大きくないが、標準圧密試験程度の排水距離の供試体では、かなり小さな目的の値を示している。 C_u は、排水距離とともに増加しておりこれは、サンドドレンでは排水距離の自乗則に適合しないことに対応していると思われる。

4. まとめ

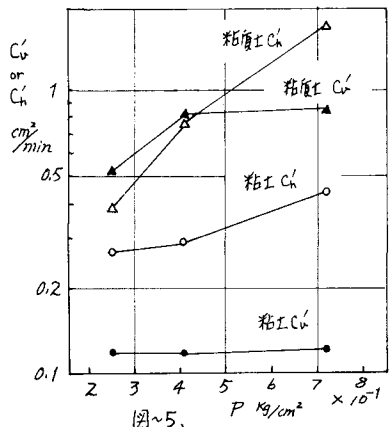
サンドドレン工法では、圧密促進のため径の小さなサンドドレンを数多く用いても排水距離の自乗則に従うほどの効果は、期待できないと思われる。最後に、この実験に協力してくれたに本学卒業生田山善正君、富永試験室に対し感謝の意を表します。



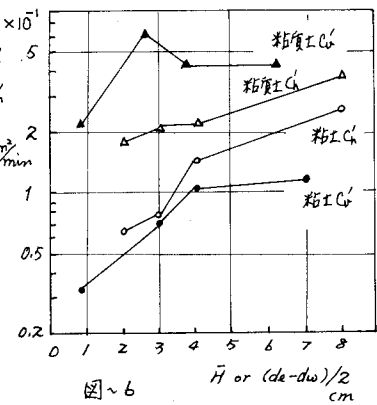
図～3.



図～4.



図～5.



図～6